

T2Kの物理

(T2K: Tokai to Kamioka LBL Neutrino Oscillation Experiment)

Ken Sakashita for the T2K collaboration
2007/Mar/17, 特定領域「フレーバー物理」研究会

1. Introduction
2. T2K実験
 - 目的と概要(特徴)
 - 実験感度, prospects
3. Hadron production測定実験
4. まとめ

Introduction

- “neutrino oscillation”

- neutrino flavor mixing

flavor eigenstates

mass eigenstates

$$|\nu_\alpha\rangle = \sum_i U_{\alpha i}^* |\nu_i\rangle$$

(2世代の場合の振動確率)

$$P(\nu_\alpha \rightarrow \nu_\beta) = \sin^2(2\theta) \sin^2 \left[\frac{1.27 \Delta m^2 L}{E_\nu} \right]$$

質量二乗差 in eV^2
($\Delta m^2 = m^2_1 - m^2_2$)

飛行距離 in km

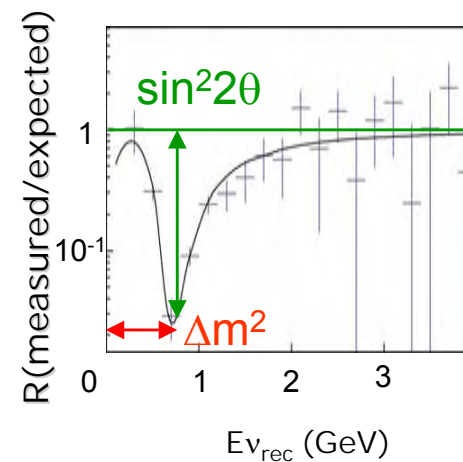
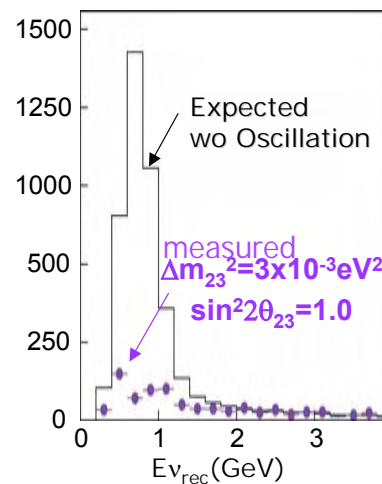
混合角

ニュートリノのエネルギー in GeV

- ・ あるフレーバーの ν の数の減少
- ・ $E_{\nu\alpha}$ 分布のdistortion
- ・ 違うフレーバーの ν の出現

- $\theta \neq 0$ and $\Delta m^2 \neq 0$ なら $P \neq 0$
- いくつかの実験で ν oscillationが測定されている

→ **non-zero ν mass**



Three flavor mixing

$$U = \begin{pmatrix} 1 & 0 & 0 \\ 0 & c_{23} & s_{23} \\ 0 & -s_{23} & c_{23} \end{pmatrix} \begin{pmatrix} c_{13} & 0 & \underline{s_{13}e^{-i\delta}} \\ 0 & 1 & 0 \\ \underline{-s_{13}e^{i\delta}} & 0 & c_{13} \end{pmatrix} \begin{pmatrix} c_{12} & s_{12} & 0 \\ -s_{12} & c_{12} & 0 \\ 0 & 0 & 1 \end{pmatrix}$$

$s_{ij} = \sin \theta_{ij}, c_{ij} = \cos \theta_{ij}$

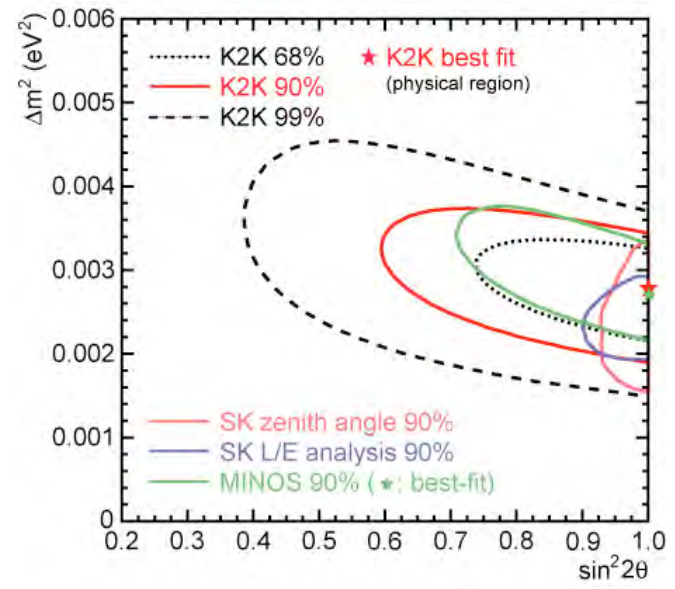
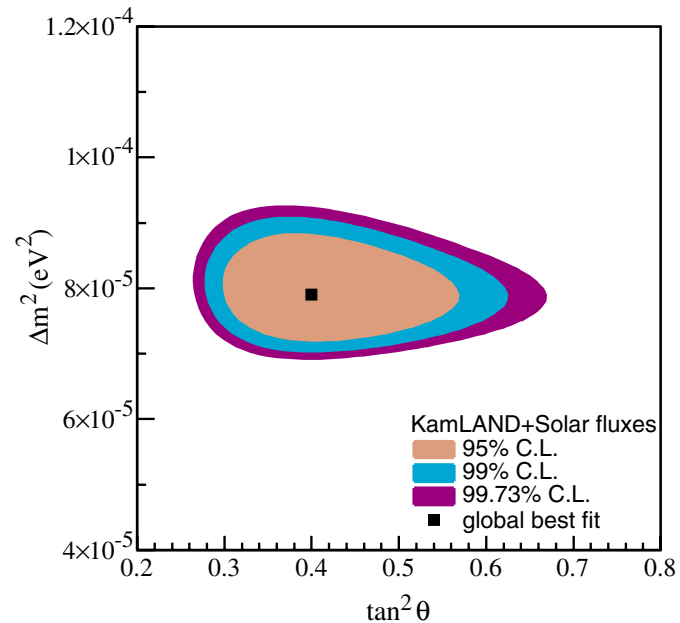
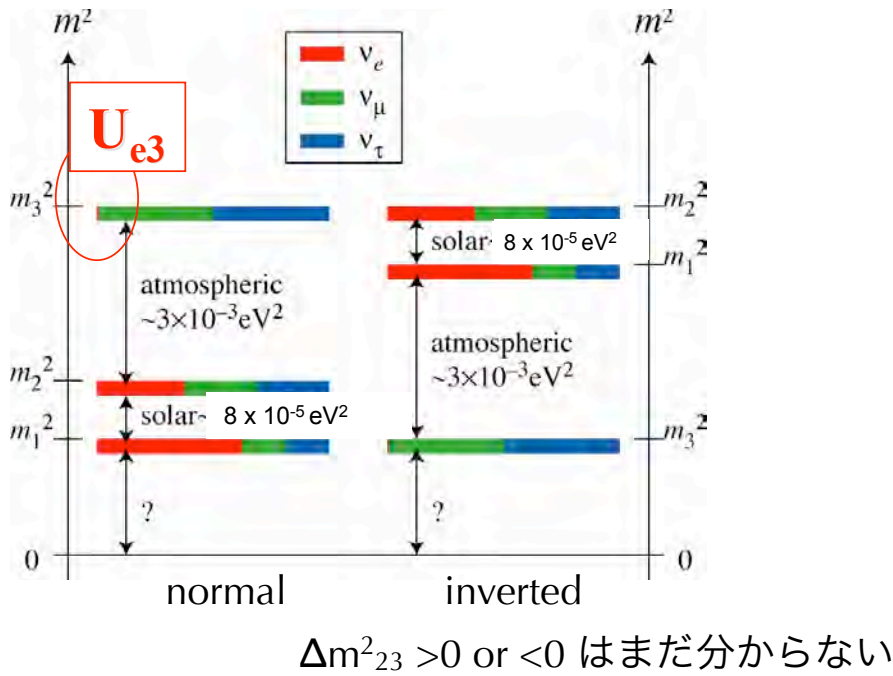
$$\Delta m_{12}^2 + \Delta m_{23}^2 + \Delta m_{31}^2 = 0$$

- 独立なパラメータ：
 - 2つの質量二乗差、3つの混合角と1つの位相(δ)
- CP violationには $\theta_{13} \neq 0$ が必要
- θ_{13} と δ の値はまだ有限な値として測られていない

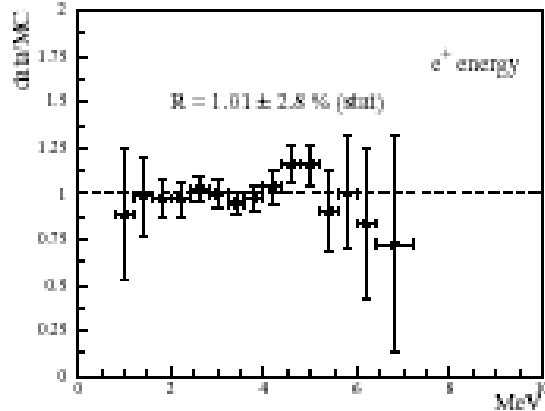
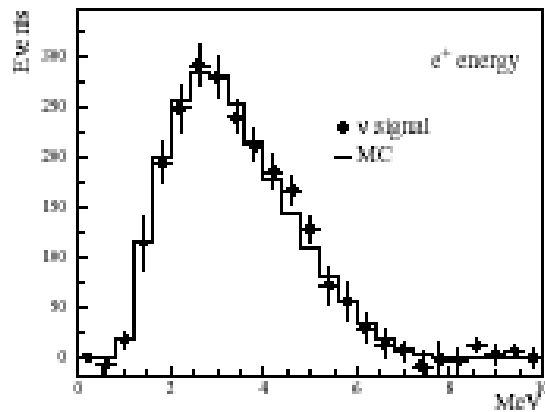
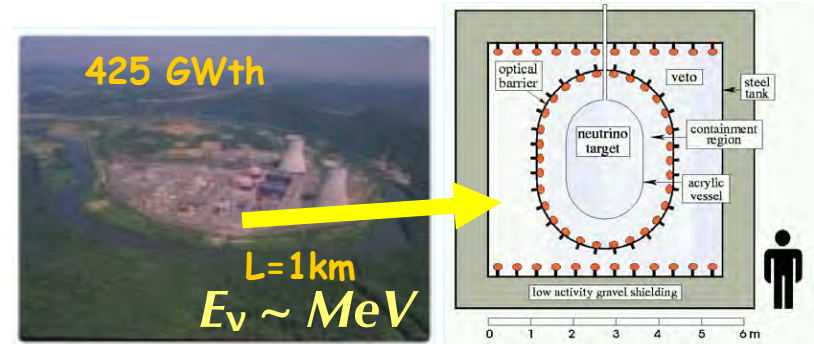
● これまでの実験結果

$\Delta m^2_{12} \sim 8 \times 10^{-5}$, $\sin^2(2\theta_{12}) = 0.86^{+0.03}_{-0.04}$
 (KamLAND + solar ν)

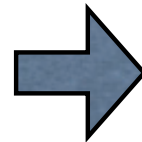
$\Delta m^2_{23} \sim (2.2 \sim 3.0) \times 10^{-3}$, $\sin^2(2\theta_{23}) > 0.92$
 (SK atm.- ν , K2K, MINOS)



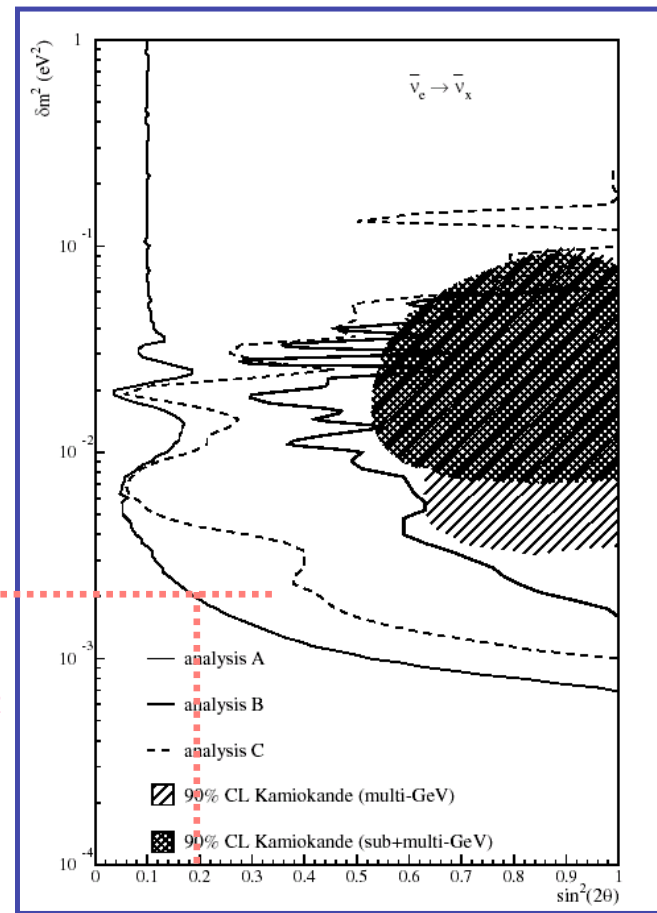
- θ_{13} limit
- CHOOZ experiment
- Reactor / $\bar{\nu}_e$ disappearance experiment



signal:
 $\bar{\nu}_e p \rightarrow e^+ n$
 $n \text{ Gd} \rightarrow \text{Gd}' + \gamma\text{'s}$



$\sin^2(2\theta_{13}) < 0.2$
 at $\Delta m^2_{23} = 2.0 \times 10^{-3} \text{ eV}^2$



T2K実験 (J-PARC E11)

- Motivation
 - 残されたパラメータ: θ_{13} と δ の測定
 - パラメータの精密測定
 - θ_{23} は maximal mixing か否か

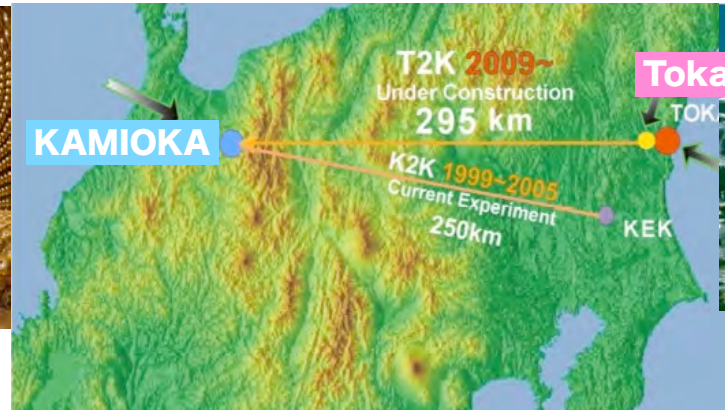
neutrino flavor
mixingの解明

T2K(1st-phase)の主な目的

- ✓ *discover a finite θ_{13} by observing ν_e appearance*
 - T2K-Iで θ_{13} を有限な値として測定 → δ の測定(CPV) in T2K 2nd-phase
- ✓ *precisely measure θ_{23} , Δm^2_{23}*

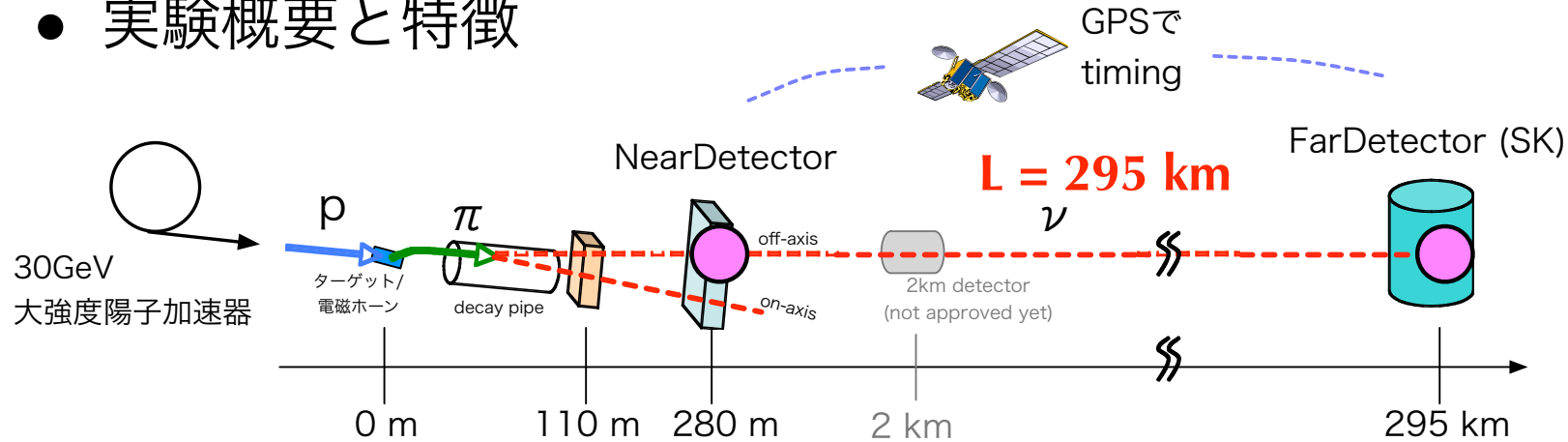


SK
(ready for T2K)



J-PARC 750kW
(under construction)

● 実験概要と特徴



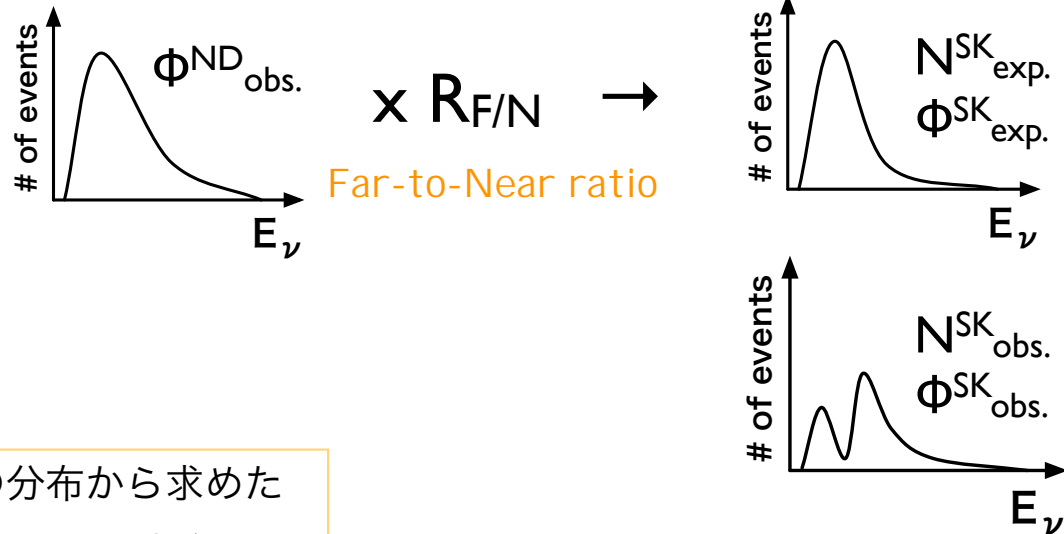
(1) **narrow-band intense ν beam**の生成

(2) ニュートリノの検出

- 準弾性散乱相互作用(CCQE)
- E_ν の再構築
- 測定量 = $\Phi \times \sigma$ (cross section)

(3) ν の親粒子(π, K)の分布から求めた NDとSKの $\Phi(E_\nu)$ の比と、実際に測定したNDの $\Phi(E_\nu)$ からSKの分布 $\Phi(E_\nu)$ を見積もる

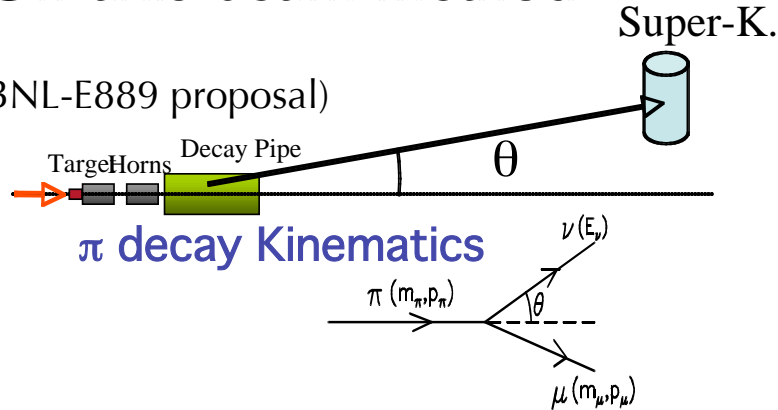
(4) 数($N_{\text{exp}}^{\text{SK}}, N_{\text{obs}}^{\text{SK}}$)と E_ν 分布 ($\Phi_{\text{exp}}^{\text{SK}}, \Phi_{\text{obs}}^{\text{SK}}$)を比較してパラメータ($\sin^2(2\theta), \Delta m^2$)を求める



Narrow-band intense neutrino beam

- Off-axis beam method

(ref. BNL-E889 proposal)

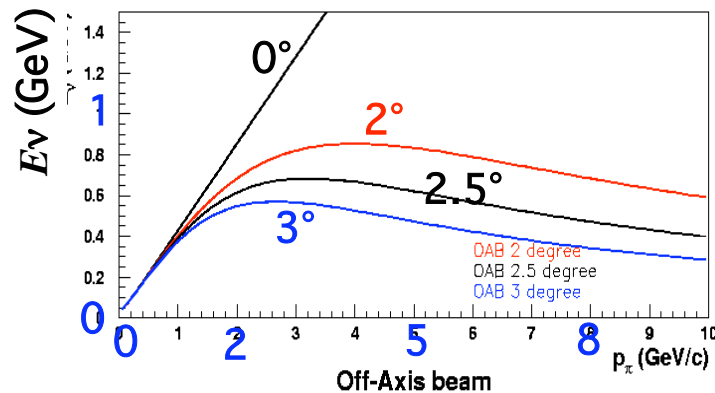
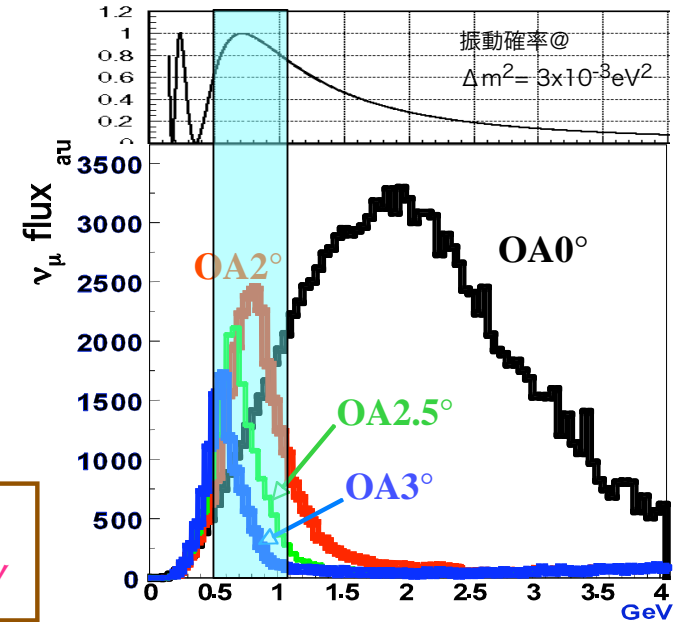


$L = 295 \text{ km}$

$\Delta m^2_{23} = (2.2 \sim 3.0) \times 10^{-3} \text{ eV}^2$

Oscillation max.

$E_\nu = 0.5 \sim 0.7 \text{ GeV}$

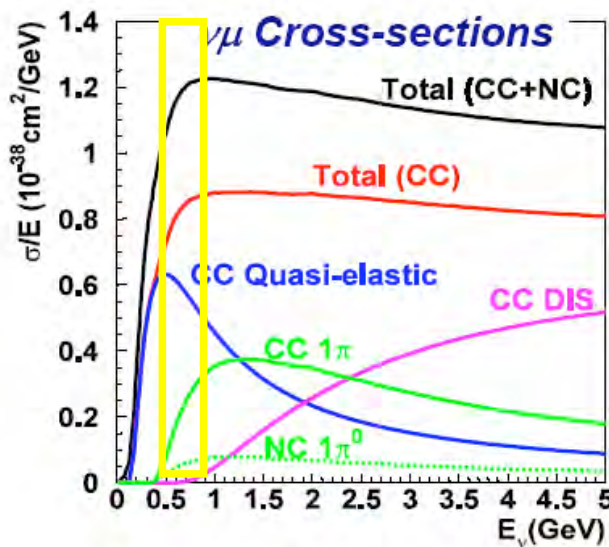
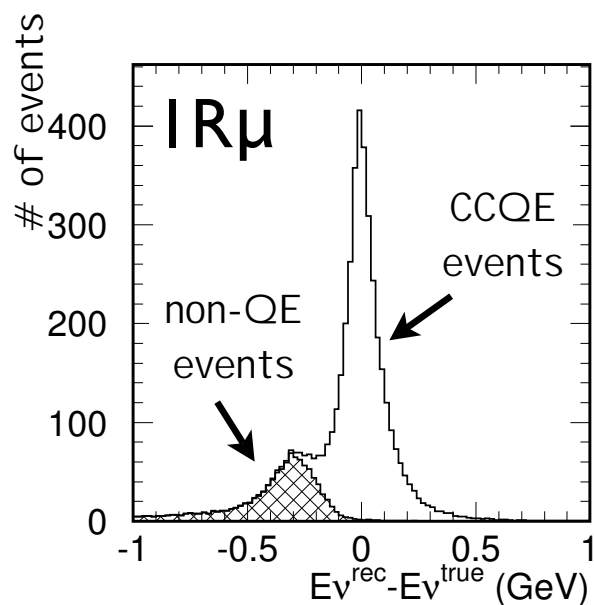


- ✓ ピークを振動確率最大の所に
 - x 2~3 intense than OA 0°
- ✓ 少ないhigh energy ν
 - backgroundを減らす
- ✓ $\nu_e \sim 0.4\%$ at ν_μ peak

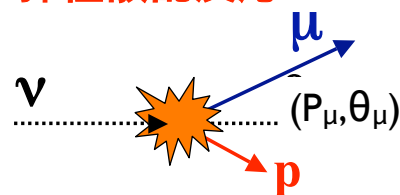
ニュートリノエネルギーの再構成

- $E_\nu \sim \text{sub-GeV} \rightarrow$ 準弾性散乱反応(CCQE)が主な相互作用
- $\nu + n \rightarrow \mu + p$

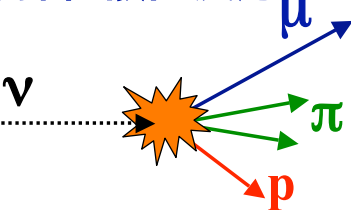
$$E_\nu^{\text{rec}} = \frac{m_N E_\mu - m_\mu^2 / 2}{m_N - E_\mu + p_\mu \cos \theta_\mu}$$



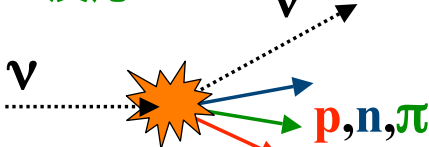
準弾性散乱反応



非弾性散乱反応



NC反応

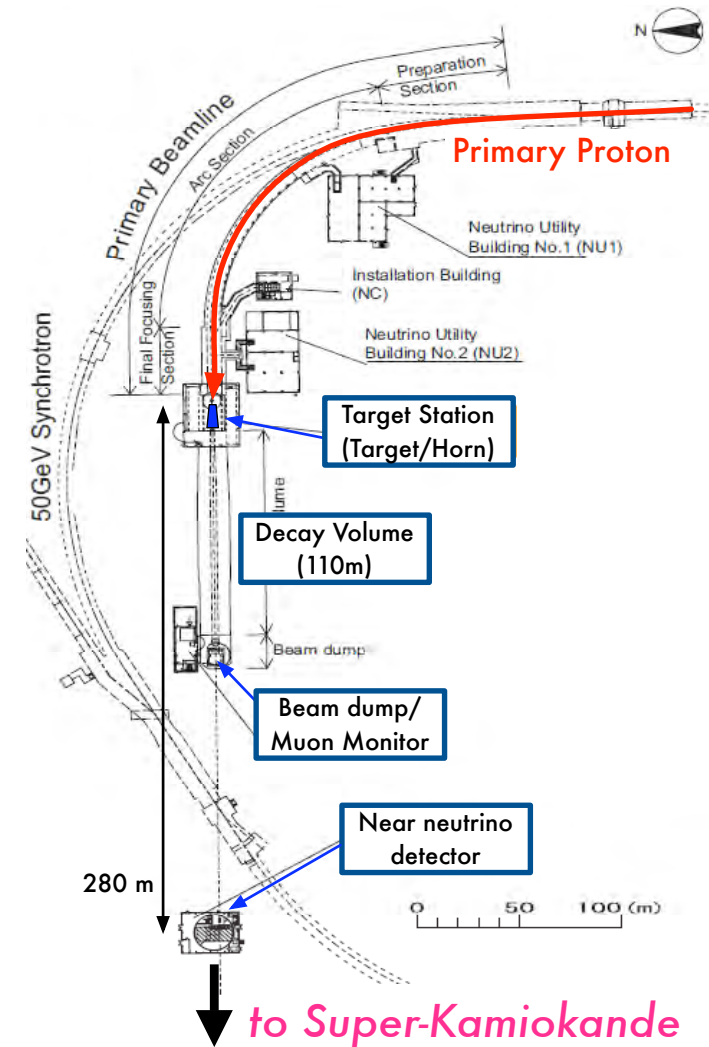


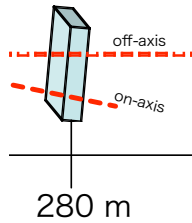
Background

Neutrino beam line

- 0.75 MW (3×10^{14} pot/spill)
- 超伝導電磁石を用いてSKの方向へ
- グラファイトターゲット
- 電磁ホーン(320kA) x 3台

- Requirement on the direction : **< 1 mrad**
- Δm^2_{23} の系統誤差を統計誤差よりも小さく
- target上のproton beamの位置精度 < 1mmに対応 → targetの保護
- GPSを用いた機器アライメント + secondary μ と ν 自身の方向のモニター

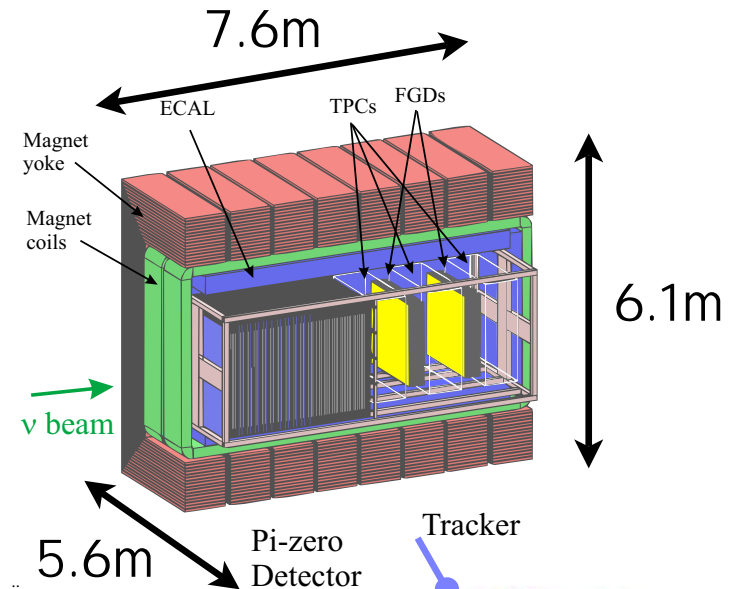




Near detector @ 280m

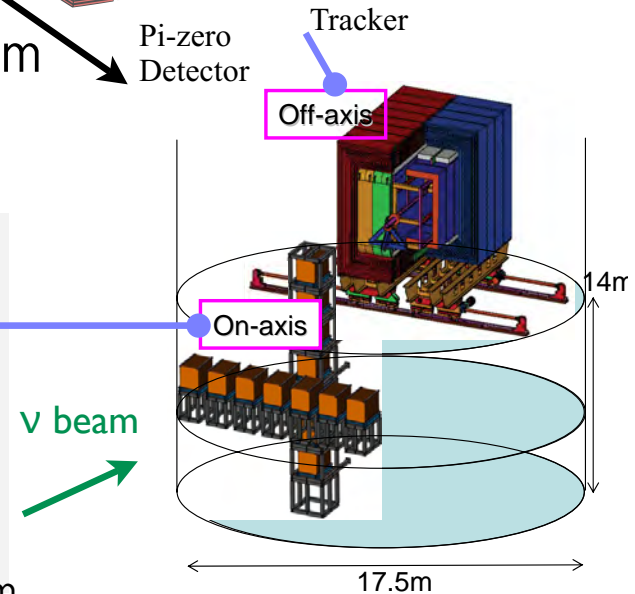
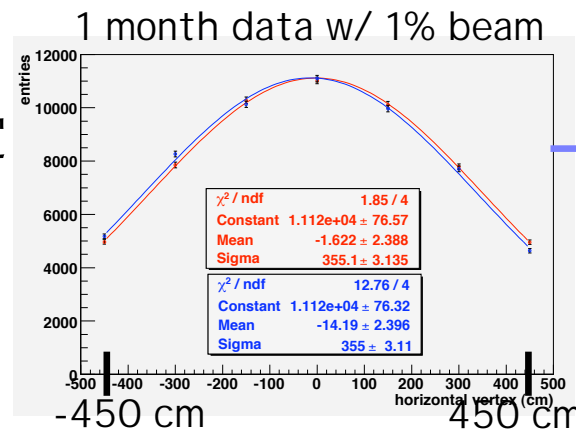
Off-axis detectors

- flux, E_ν を測定 ($\nu_\mu, \bar{\nu}_\mu, \nu_e$)
- ν cross section(non-QE/QE)の測定
- background見積もり
- UA1 magnet(0.2T), Tracker(FGD,TPC), Pi0 detector, EM calorimeter

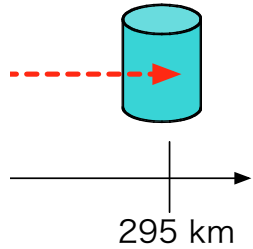


On-axis detector

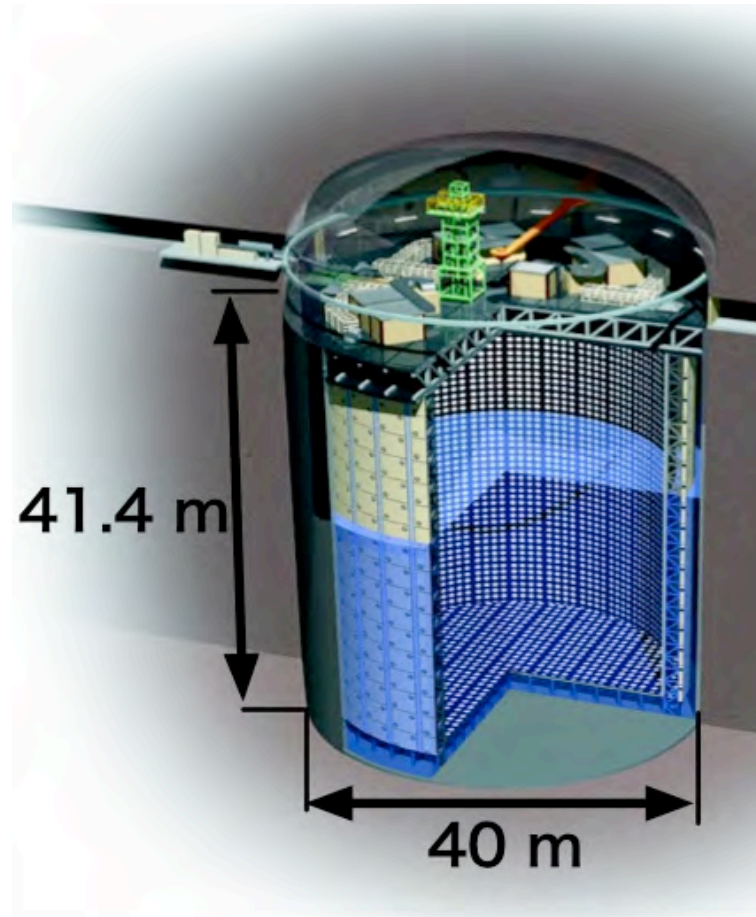
- ν ビームの方向を測定 ($\delta \sim 1$ mrad)
- 鉄/シンチレータ block x 14台



FarDetector (SK)



Super Kamiokande



- 神岡鉱山内の地下1kmに設置
- 50kトン水チェレンコフ検出器
 - 有効体積 22.5 kトン
- 約10000本の20inch PMTs (内側)
- 約2000本のanti-counter PMTs (外側)
- e-like(shower ring) / μ -likeの識別

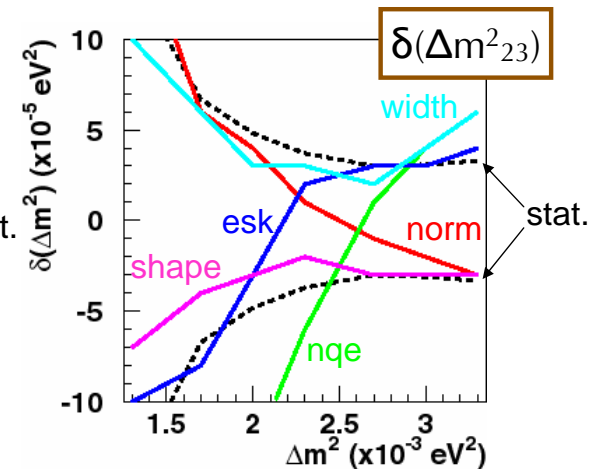
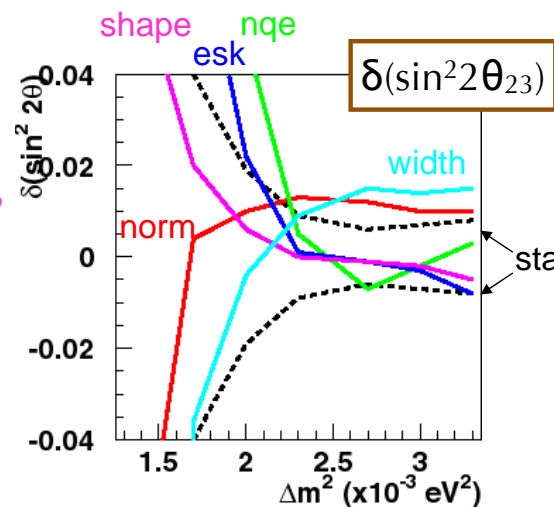
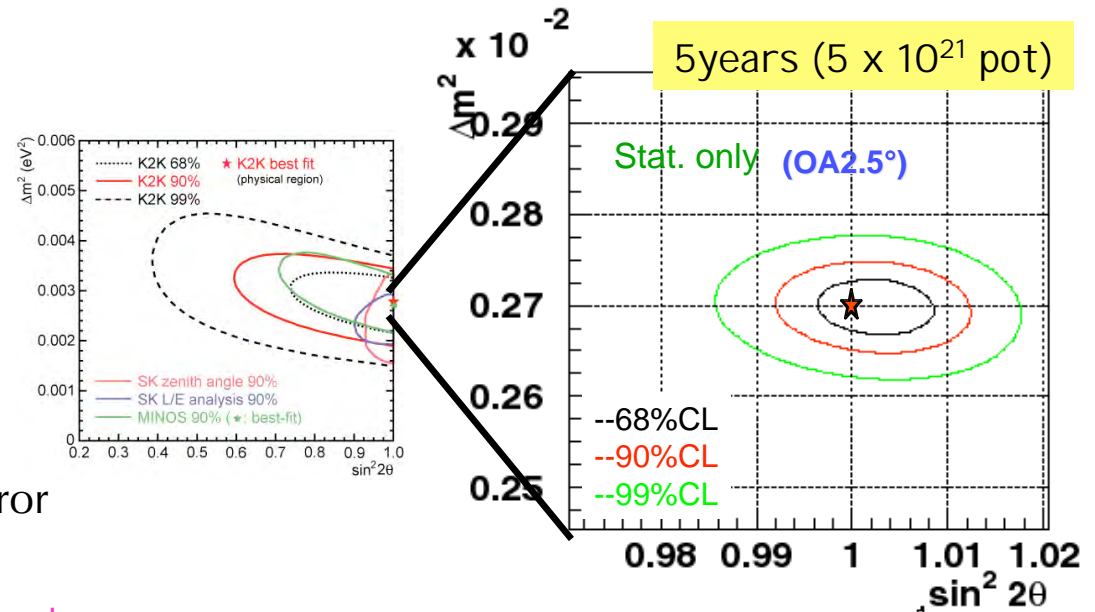
物理感度(T2K-I) : $(\theta_{23}, \Delta m^2_{23})$

- ν_μ disappearance
- goal
 - $\delta(\sin^2 2\theta_{23}) \sim 0.01$
 - $\delta(\Delta m^2_{23}) \sim < 1 \times 10^{-4}$

requirements on systematic error

- - flux normalization : <10%
- Non-QE/QE ratio : <5%
- Energy scale : <2%
- - Spectrum shape (FLUKA/MARS) : <20%
- - Spectrum width : <10%

hadron-productionを測り
Far-to-Near ratioを
算出して、このエラーを減らす



θ_{13} in T2K-I

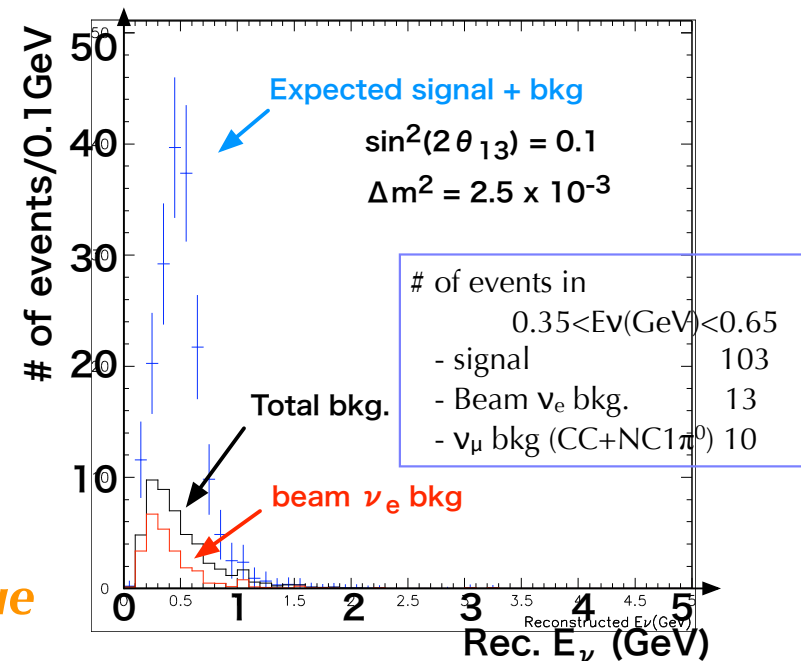
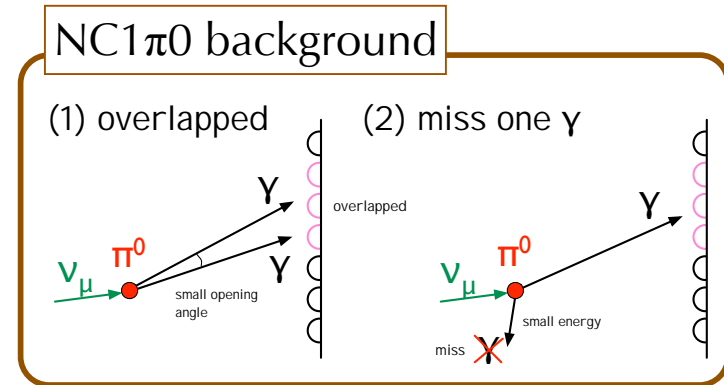
- ν_e appearance

$$P(\nu_\mu \rightarrow \nu_e) \approx \sin^2(2\theta_{13}) \sin^2 \theta_{23} \sin \left[\frac{1.27 \Delta m_{31}^2 [\text{eV}^2] L [\text{km}]}{E [\text{GeV}]} \right]$$

(Simplified Oscillation Prob.)

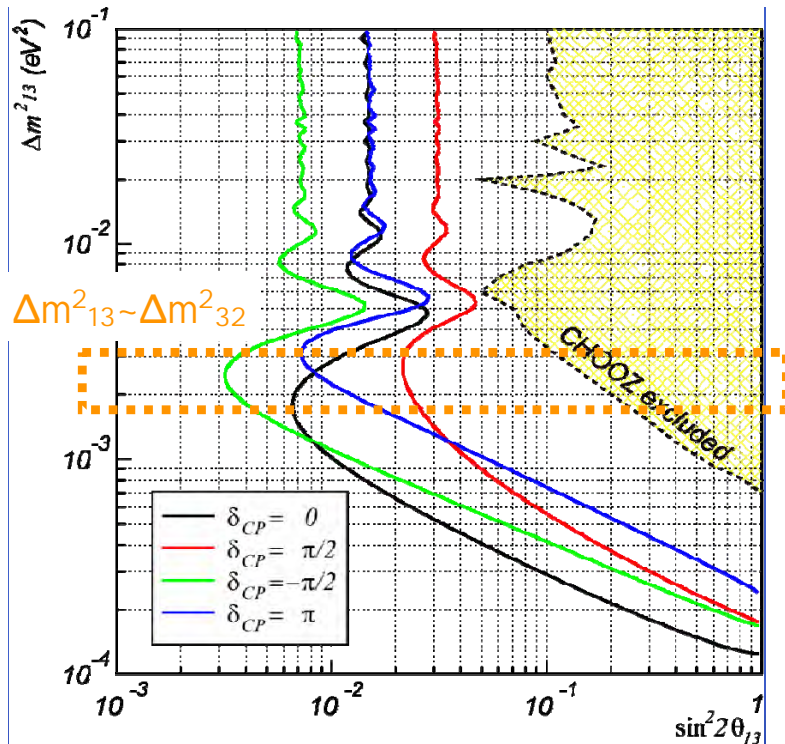
- signal : $\nu_e + n \rightarrow e^- + p$
 - single ring electron
- background
 - ν_μ NC1 π^0 events, in which π^0 is misidentified as e^-
 - apply e/π separation cuts
 - beam intrinsic ν_e

understanding background is key issue

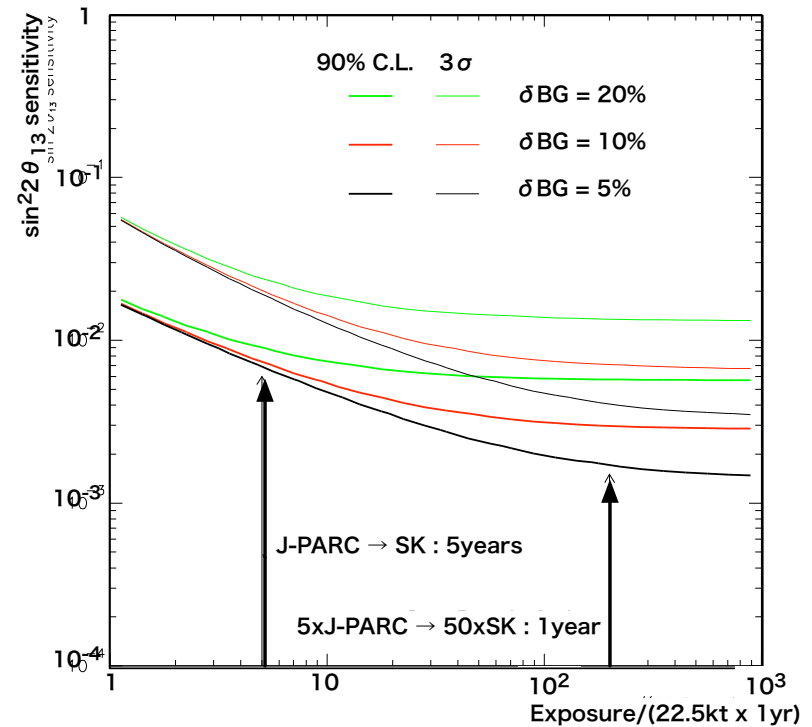


Expected sensitivity of θ_{13}

- $> \times 10$ improvement from CHOOZ results
 $\sin^2(2\theta_{13}) = 0.008$ (90% C.L.) for $\delta=0$, $\Delta m^2_{13}=2.5 \times 10^{-3} \text{ eV}^2$



90% C.L. sensitivity @ 5 years (5×10^{21} pot)
 w/ stat. + 10% bkg. systematic error



10% background measurement is necessary

To achieve T2K-I physics goals

- $R_{F/N}$ を精度よく求める必要がある

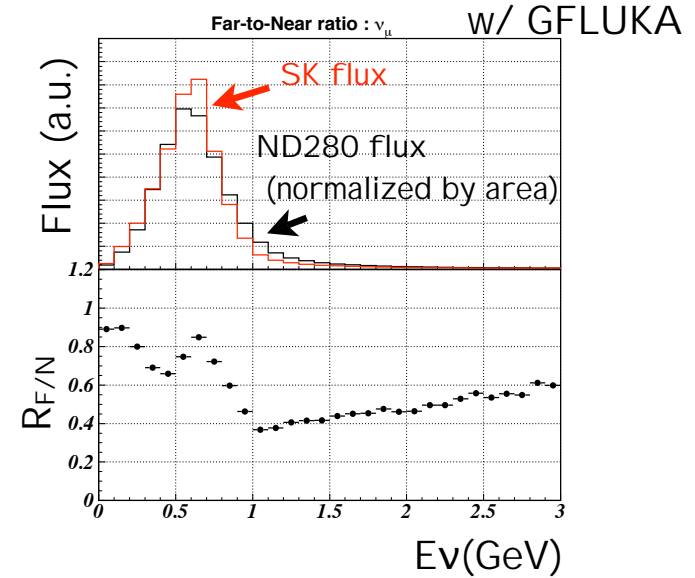
- $\Phi_{\text{exp.}}^{\text{SK}} = R_{F/N} \times \Phi_{\text{obs.}}^{\text{ND}}$

- ν_{μ} disappearance

- ✓ keep syst. error less than stat. error

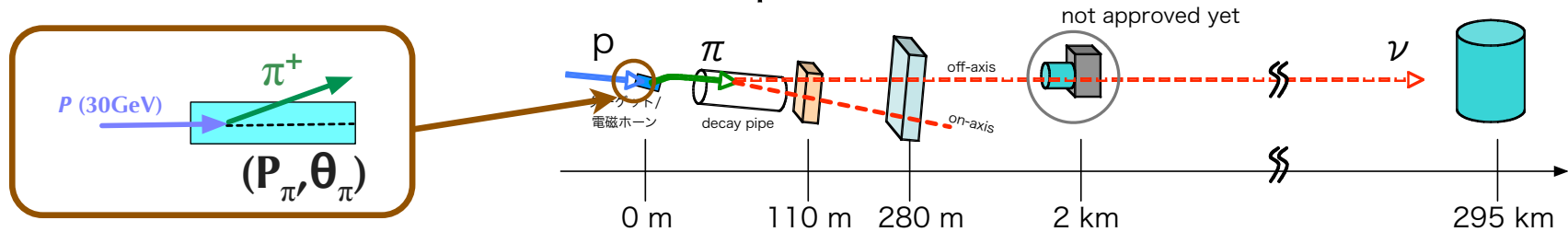
- ν_e appearance

- ✓ $\delta(N_{\text{bkg.}})$ to be less than 10% → **$\delta(R_{F/N})$ to be less than 2~3%**

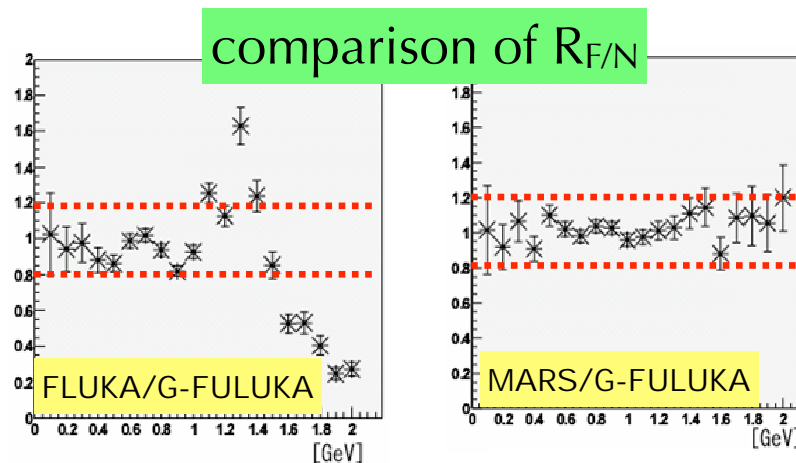
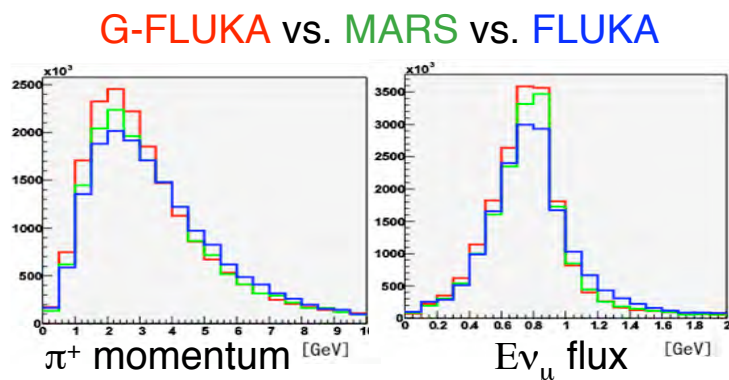


$R_{F/N}$ is sensitive to kinematics of parent particle (π, K)

- but there is no data for 30GeV proton + C



- 仮に $R_{F/N}$ をMCを用いて見積もる



~20% difference @ $E_\nu < 1\text{GeV}$

systematic error from $\delta(R_{F/N})$

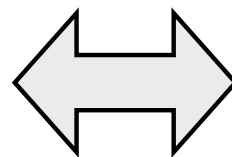
ν_e appearance

$$\delta(N_{\text{bkg}}) \sim 15\%$$

ν_μ disappearance

$$\delta(\sin^2 2\theta_{23}) \sim \pm(1.5 \sim 3)\%$$

$$\delta(\Delta m^2_{23}) \sim \pm(5 \sim 10) \times 10^{-5} \text{ eV}^2$$



T2K-I goal

ν_e appearance

$$\delta(N_{\text{bkg}}) < 10\%$$

ν_μ disappearance

$$\delta(\sin^2 2\theta_{23}) \sim 1\%$$

$$\delta(\Delta m^2_{23}) < 1 \times 10^{-4} \text{ eV}^2$$

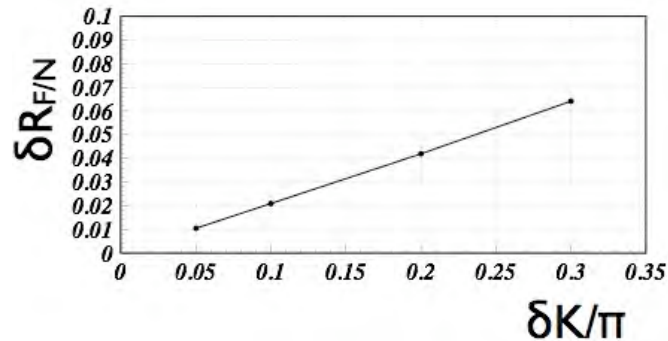
measurement of the hadron production is necessary !!

Hadron production measurement

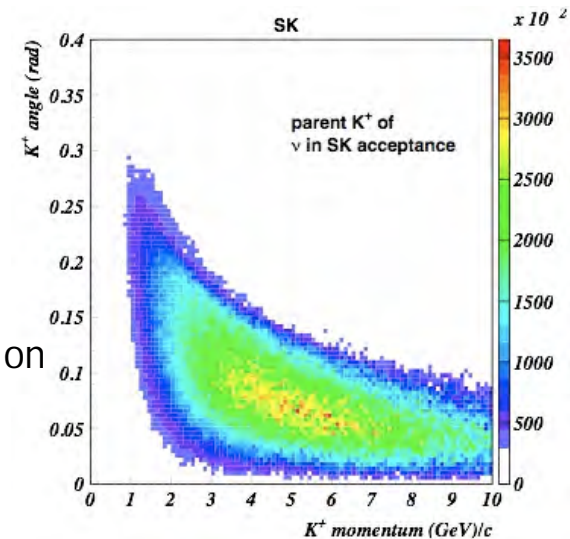
- use 30GeV proton and the same target material (C)
- Measure (P_π, θ_π) distribution
 - less than 10% statistical error of each P_π bin and θ_π bin
 (P_π 200MeV/bin x 50 bins, θ_π 20mrad/bin x 20 bins)
- Measure π/K ratio w/ less than 10% accuracy
 - high energy ν_μ from Kaon decays

➔ $\delta (R_{F/N}) < 1\%$

➔ $\delta (R_{F/N}) \sim 2\%$

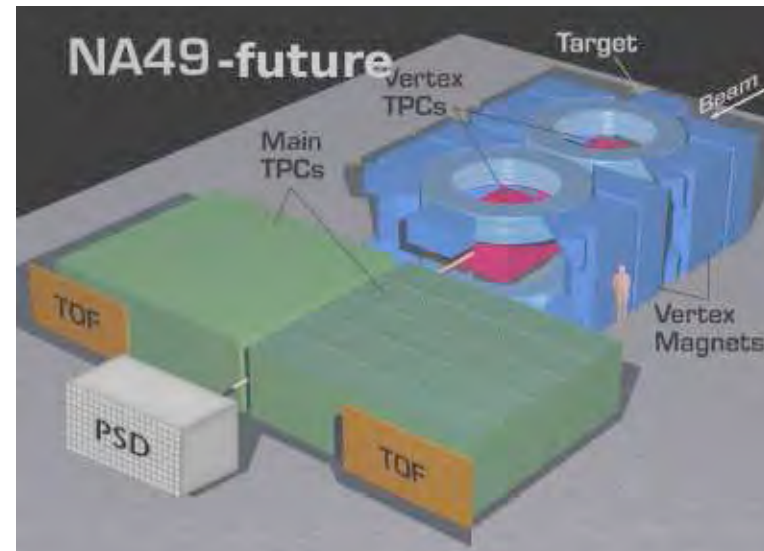
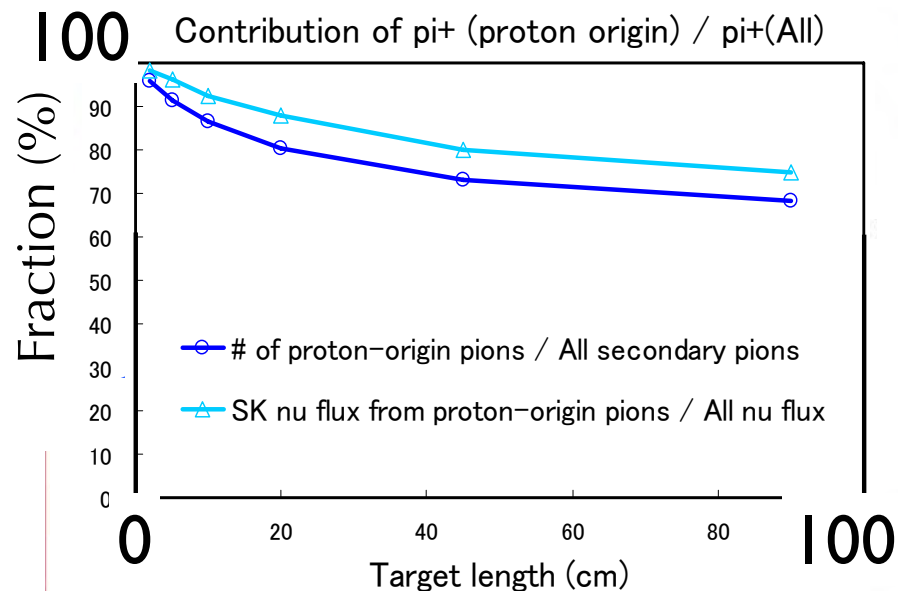


Need to measure the number of K^+ in the region $1 < P(\text{GeV}/c) < 20$ and $0 < \theta(\text{mrad}) < 300$



CERN NA49 experiment

- 2007 run (30days) is nearly approved
- measure w/ 3 kinds of target
 - thin (~1cm, 2%) , middle(10cm, 20%) and replica (90cm)
 - take data to achieve the requirements for all the target



CP violation (δ) の測定

- T2K-Iで $\theta_{13} \neq 0$ と測定された場合、T2K-IIでCPV phase(δ)の測定に
 - ✓ 厳密な $P(\nu_\mu \rightarrow \nu_e)$ は δ や物質効果を含むが、T2Kの $L=295\text{km}$ 、小さい E_ν では物質効果は小さい
 - ✓ $\nu_\mu \rightarrow \nu_e$ の数と $\bar{\nu}_\mu \rightarrow \bar{\nu}_e$ の数を比較して δ を測定

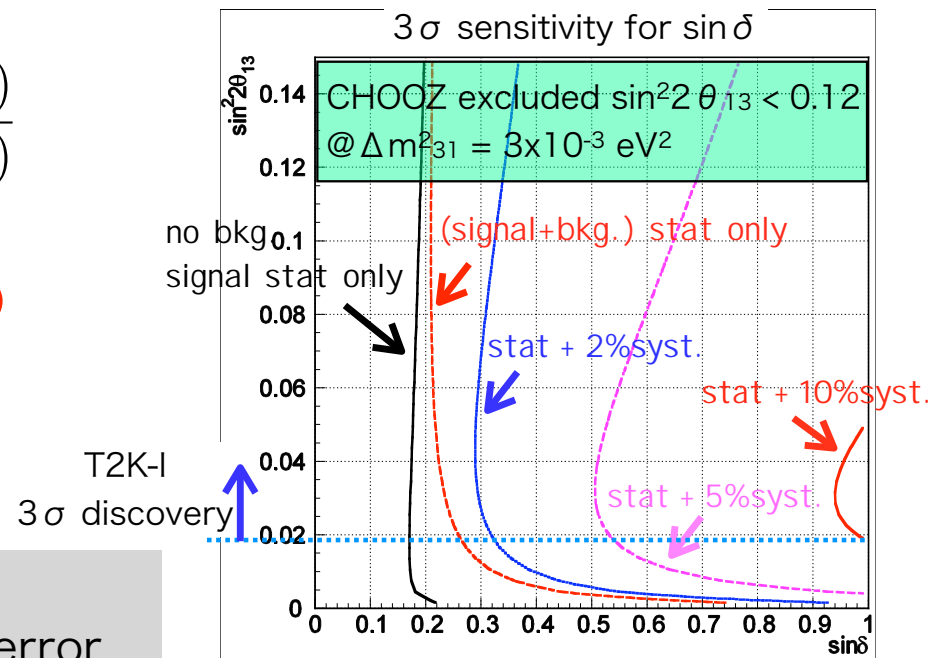
$\Delta m_{21}^2 = 6.9 \times 10^{-5} \text{eV}^2$
 $\Delta m_{32}^2 = 2.8 \times 10^{-3} \text{eV}^2$
 $\theta_{12} = 0.594$
 $\theta_{23} = \pi/4$

$$A_{CP} \equiv \frac{P(\nu_\mu \rightarrow \nu_e) - P(\bar{\nu}_\mu \rightarrow \bar{\nu}_e)}{P(\nu_\mu \rightarrow \nu_e) + P(\bar{\nu}_\mu \rightarrow \bar{\nu}_e)}$$

$$\approx \frac{\Delta m_{12}^2 L}{E} \cdot \frac{\sin(2\theta_{12})}{\sin(\theta_{13})} \cdot \sin \delta$$

例えば、4MW+540kトン-HKで
2年 ν run, 6年 $\bar{\nu}$ run

3 σ sensitivityで $|\delta| > 20^\circ$
@ $\sin^2 2\theta_{13} = 0.01$ and 2% syst. error



Summary

- T2K実験
 - L=295km & $\Delta m^2_{23} \rightarrow E_\nu$ sub-GeV
 - narrow-band intense beam w/ OAB method
 - CCQE ν -interaction \rightarrow possible to reconstruct E_ν
- 物理感度のprospects
 - ν_μ disappearance : $\delta(\sin^2\theta_{23}) \sim 1\%$, $\Delta m^2_{23} < 1 \times 10^{-4} \text{ eV}^2$
 - ν_e appearance : $\sin^2\theta_{13} = 0.008 @ 90\% \text{ C.L.}$
 - $\theta_{13} \neq 0 \rightarrow$ CPV phase δ の測定 in T2K-II
- $R_{F/N}$ を精度良く求めるためにhadron-production experimentが進行中

2009年4月
実験開始

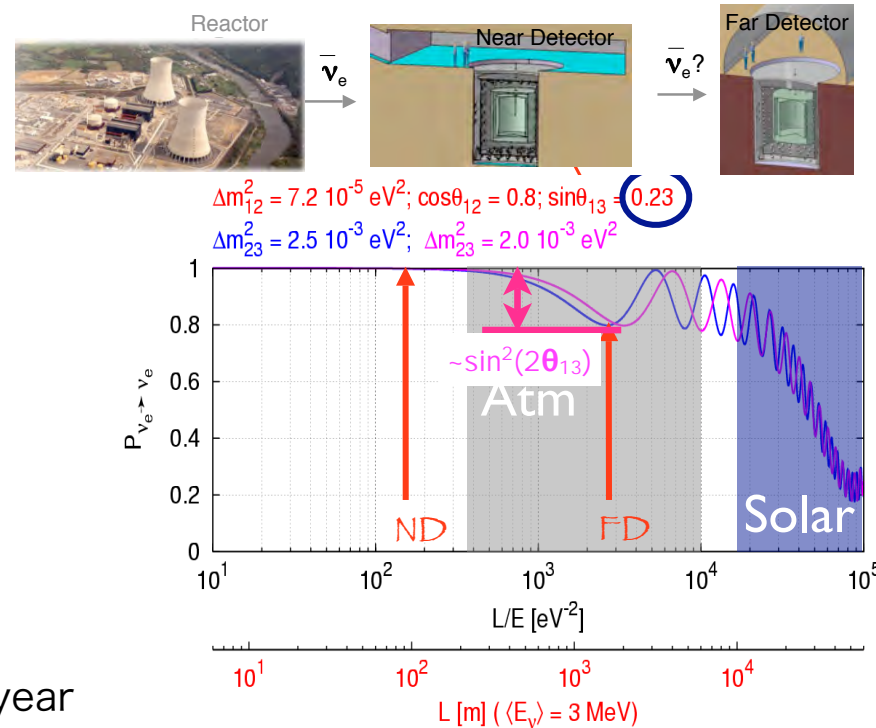
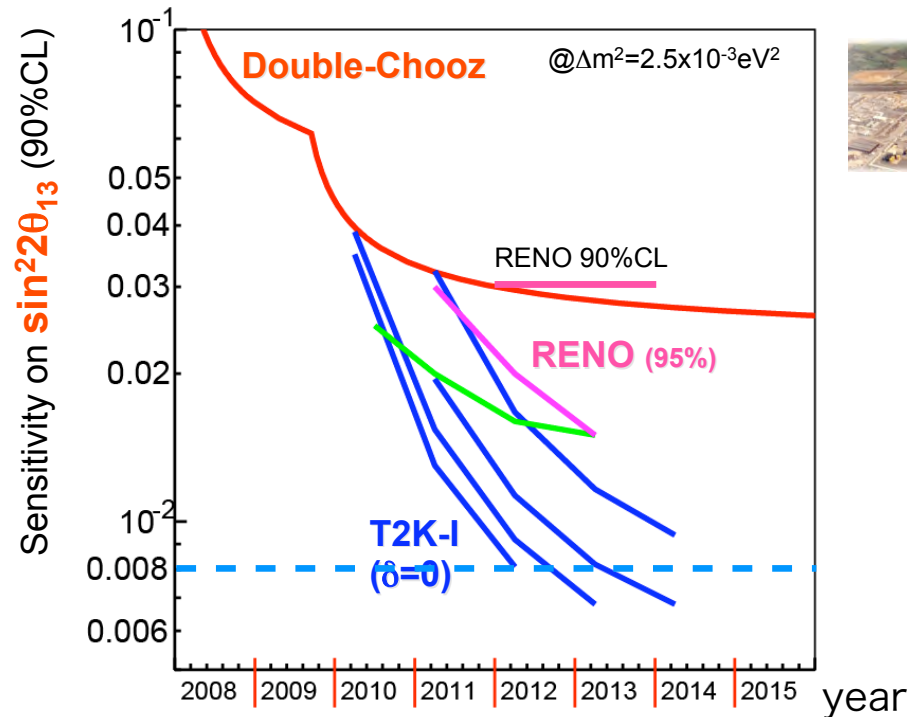
backup slides

他の θ_{13} 測定実験

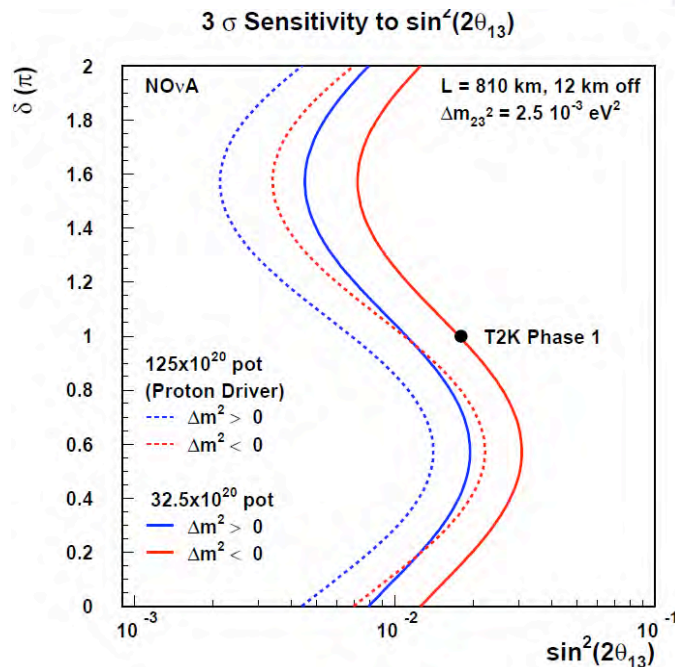
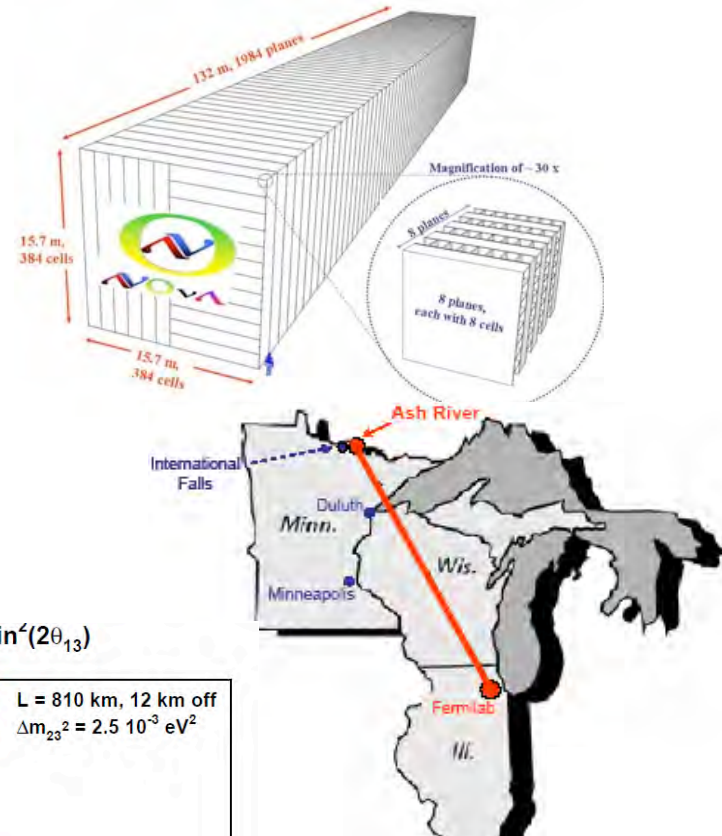
- Reactor experiments [Double CHOOZ(フランス), RENO(韓国) ...]
- ν_e disappearance \rightarrow almost pure θ_{13} measurement

$$P(\nu_e \rightarrow \nu_e) = 1 - \sin^2 2\theta_{13} \cdot \sin^2(1.27 \Delta m_{31}^2 L/E) + O(\Delta m_{21}^2 / \Delta m_{31}^2)$$

- small deficit \rightarrow systematic dominated



- NOvA (accelerator LBL exp.)
- ν_e appearance
- NuMI off-axis beam (L=810km) & 30kton liquid scintillator detector
- similar sensitivity to T2K



NOvA sensitive to matter effect

